2024 年

2024

Dec.

FLY ASH COMPREHENS

材料科学

12 月

玄武岩纤维混掺聚乙烯醇纤维水泥基 复合材料性能研究*

Study on the Properties of Basalt Fiber Hybriding with Polyvinyl Alcohol Fiber Cement-based Composite Materials

花 蕾1,2

- (1. 同济大学浙江学院 嘉兴市土木与环境高性能功能材料重点实验室,浙江 嘉兴 314051; 2. 同济大学浙江学院,浙江 嘉兴 314051)
- 摘 要:采用3、6、9 mm 长的玄武岩纤维(Basalt Fiber, BF)按照1:1的比例与6、9 mm 长的聚乙烯醇(Polyvinyl Alcohol, PVA)纤维混掺入水泥基体中制备了BF/PVA水泥基复合材料,研究不同长度BF、PVA纤维混掺体系对水泥基材料力学性能的影响。结果表明:纤维总掺量为0.2%时,BF/PVA水泥基复合材料在7、14 d 抗折、抗压均表现出良好的性能,混掺6 mm BF 与6 mm PVA纤维的试件7、14 d 抗折强度分别达到7.6、8.4 MPa,与单掺0.2%的6 mm PVA纤维的试件相比增幅达到26.67%、29.23%;9 mm PVA纤维与3、6、9 mm BF混掺体系中,7、14 d 抗折强度均表现出明显的增强,且抗折强度最优值出现在9 mm PVA纤维与6 mm BF混掺的试件,其值分别达到7.9、8.9 MPa,混掺效果最佳。

关键词:聚乙烯醇纤维;玄武岩纤维;混掺;水泥基复合材料;力学性能

中图分类号: TU599 文献标志码: A 文章编号: 1005-8249 (2024) 06-0014-05

DOI:10.19860/j.cnki.issn1005-8249.2024.06.003

HUA Lei^{1,2}

- (1. Jiaxing Key Laboratory of High-performance and Functional Materials in Civil and Environmental Engineering, Tongji Zhejiang College, Jiaxing 314051, China;
 - 2. Tongji Zhejiang College, Jiaxing 314051, China)

Abstract: The hybriding systems containing 3 , 6 , 9 mm Basalt Fiber (BF) and 6 , 9 mm Polyvinyl Alcohol (PVA) fiber at the weight ratio of 1:1 were incorporated into the cement matrix to prepare BF/PVA cement-based composites. The influence of the different lengths of BF and PVA fiber hybriding systems on the mechanical properties of BF/PVA cement-based composites was studied thoroughly. The results indicate that the BF/PVA cement-based composites curing for 7 , 14 days respectively containing 9 mm PVA fiber and 3 , 6 , 9 mm BF exhibit the good flexural and compressive properties by controlling the weight fraction of the total fibers within 0.2%. The flexural strength of the specimen containing with 6 mm BF and PVA fiber achieves 7.6 , 8.4 MPa curing for 7 , 14 days, respectively. Compared with the specimen with addition of 0.2% PVA fiber, the increase of the flexural strength of the 6P/6B achieves 26.67% , 29.23% increase , respectively. In the hybriding system of

作者简介:花 蕾(1978-),女,博士研究生,教授,研究方向:建筑功能材料、复合材料。

收稿日期: 2023-09-29

^{*}基金项目:"创新嘉兴·优才支持计划"教育拔尖人才项目(211205JYBJ002)。

材料科学

9 mm PVA fibers and 3 , 6 , 9 mm BF, the significant enhancement could be observed in the flexural strength especially for the 6 mm BF hybriding with 9 mm PVA specimen. The flexural strength of 9P/6B could reach 7.9 , 8.9 MPa curing for 7 , 14 days, which shows the best hybriding performance of BF and PVA fibers.

Keywords: polyvinyl alcohol fiber; basalt fiber; hybrid; cement-based composite; mechanical property

0 引言

随着工程建设的发展,普通混凝土因其抗拉强 度低、脆性大、易开裂等问题无法满足土木工程高 性能材料的应用需求[1-2]。前期大量研究表明,纤维 的掺入可以明显抑制混凝土内部开裂和裂纹扩展, 提高混凝土抗拉、抗压、韧性等物理性能^[3-4]。PVA 纤维具有良好的柔韧性以及亲水性, 其应用研究主 要集中在高延性、高韧性水泥基材料领域[5]。研究 表明, PVA 纤维长度过长时, 其在水泥基体中分散 性较差,易于缠绕、团聚,从而导致水泥基复合材 料性能的下降[6]; 当 PVA 纤维长度较短时, 其易于 从水泥基中拔出,也会导致水泥基复合材料力学性 能的下降[7]。单掺一种纤维所提高的效果比较有限, 而混掺纤维增强水泥基复合材料能够弥补单一纤维 存在的缺点[8]。当两种及以上混掺纤维掺量在合理 范围内时, 可表现出良好的协同效应, 达到取长补 短、相互补充的作用,从而改善水泥基复合材料的 综合性能^[9-10]。BF 抗拉强度高达 4 150~4 840 MPa, 同时耐酸耐碱,并且与水泥基有着相似的化学成分: SiO,和 Al₂O₃,因此 BF 与水泥基具有良好的相容性 和分散性,能提高水泥基材料的强度,延长使用寿 命^[11-12]。理论上将 PVA 纤维与 BF 混掺 (PVA/BF) 后掺入水泥基体中能取长补短,达到复合增强的效 果。近几年已有关于 PVA 与 BF 混掺协同提高水泥基 复合材料性能的研究报道。陈晨[13]研究发现混掺 BF 与 PVA 纤维的高性能混凝土强度表现出正混掺效应; 于海洋[14]研究发现在合适的水胶比和纤维混掺比例 下, PVA/BF 水泥基复合材料表现出良好的协同效 应; Zhang 等[15]研究发现当水泥基中的 PVA 与 BF 混 掺纤维掺量低于0.4%时,两种纤维可以表现出良 好协同效应。但是前人并没有对不同长度 BF 与 PVA 混掺水泥基复合材料体系进行系统地研究。基于此, 提出在混掺纤维总掺量不变的情况下,长度3、6、 9 mm的 BF 与长度为 6、9 mm PVA 纤维混掺体系对 PVA/BF 水泥基复合材料抗压、抗折性能的影响,从 而为 PVA、BF 纤维在土木工程领域的应用提供参考 依据。

1 试验

1.1 试验材料

水泥选用 P·C 32.5 型复合硅酸盐水泥;砂选用标准砂; PVA 纤维的长度为 6、9 mm,物理性能见表 1;BF 的长度为 3、6、9 mm,其物理性能见表 2;减水剂为 CQJ - JSS 型聚羧酸减水剂,白色粉末状,减水率约为 16%~22%;拌合水为自来水。

表 1 PVA 纤维物理性能 Table 1 Physical properties of PVA fiber

	•		
断裂强度	断裂伸长率	弹性模量	纤维长度
/ (cN/dtex)	/%	/GPa	/mm
11	6.0~8.0	29. 0	6、9

表 2 BF 物理性能 Table 2 Physical properties of BF

纤维长度	密度/	弹性模量	拉伸强度
3, 6, 9	(g/cm^3)	/GPa	/MPa
	2. 63 ~ 2. 65	91 ~ 110	3 000 ~ 4 800

1.2 配合比设计以及试件制备

试件配合比为:水泥:砂:水:减水剂为1:1.5:0.35:0.007。纤维掺量为水泥+标准砂+水的质量百分含量。根据配合比称取一定量的水泥加入搅拌锅后,在低速下干拌5 min,将称量好的纤维缓慢撒入搅拌锅内与水泥一起低速干拌5 min,再加入减水剂和水,低速搅拌30 s,最后加入一定量的标准砂,高速搅拌1 min 后停止搅拌。将水泥浆体倒入40 mm×40 mm×160 mm 三联模具中,并将其固定在振实台上振实1 min 再静置24 h 后拆模,试件编号后放入养护室(温度:(20 ± 1) $^{\circ}$ 、湿度:90%),养护7、14 d 后取出后测试。纤维掺量见表3。

1.3 流动性测试

根据 GB/T 2419—2005《水泥胶砂流动度测定方法》,对水泥胶砂的流动度进行测试。用卡尺测量胶砂底面互相垂直的两个方向直径,计算平均值。该平均值即为该组水泥基复合材料的流动度。

材料科堂

表3 纤维掺量 Table 3 Fiber content

试件 编号	PVA /mm	BF /mm	PVA 掺量 /%	BF 掺量 /%	BF/PVA 总掺量 /%
空白					
6P-0.2	6		0. 2		0. 2
6P-0.4	6		0.4		0.4
6P-0.6	6		0.6		0.6
6P-0.8	6		0.8		0.8
9P-0.2	9		0. 2		0. 2
9P-0.4	9		0.4		0.4
9P-0.6	9		0.6		0.6
9P-0.8	9		0.8		0.8
3B-0.2		3		0.2	0. 2
6B-0.2		6		0.2	0. 2
9B-0.2		9		0.2	0. 2
6P/3B	6	3	0. 1	0.1	0. 2
6P/6B	6	6	0. 1	0.1	0. 2
6P/9B	6	9	0. 1	0. 1	0. 2
9P/3B	9	3	0. 1	0. 1	0. 2
9P/6B	9	6	0. 1	0. 1	0. 2
9P/9B	9	9	0. 1	0.1	0. 2

注: 9P-0.6: "9" 表示纤维长度为9 mm, "P" 表示聚乙烯醇纤 维, "0.6" 表示水泥基中体纤维的质量掺量为 0.6%; 6P/9B: "6" 表示聚乙烯醇纤维的长度为6 mm, "P"表示聚乙烯醇纤维, "9"表 示玄武岩纤维的长度为9 mm, "B"表示玄武岩纤维;空白组为未掺 纤维砂浆。

1.4 抗压、抗折强度测试

按照 GB 17671—1999《水泥胶砂强度检验方法 (ISO法)》将试件分别养护至 7、14 d 后,测试抗 折、抗压强度。每组测试6个试件的抗折强度和12 个试件的抗压强度,测试结果取平均值。

结果与讨论

2.1 流动性分析

水泥砂浆流动性见表 4, 分析对比如图 1 所示。 未掺入纤维砂浆(空白组)在跳桌试验时,流动性 较好,流动度为 263 mm。对于单掺 PVA 纤维水泥砂 浆, 掺入0.2%的6 mm PVA 纤维后, 6P-0.2 砂浆 的流动度下降到 164 mm; 当掺量为 0.8%, 6P-0.8 流动度降到最低,为109 mm。随着9 mm PVA 纤维 掺量的增加,水泥砂浆的流动度呈现显著地下降趋 势, 例如掺入 0.2% 的 9 mm PVA 纤维的9P-0.2 砂 浆流动度为 217 mm, 而掺入 0.8% 的9 mm PVA 纤维 9P-0.8 砂浆的流动度下降为146 mm。其原因主要为 PVA 纤维的亲水性。PVA 纤维掺入水泥浆体后会在 表面吸附一定的水分,导致拌合水减少。同时, PVA 纤维在砂浆中容易团聚、缠结,降低了水泥浆 体的流动度。6 mm PVA 纤维砂浆的流动度明显低 于9 mm PVA 纤维砂浆的流动度。同等掺量的前提 下, 6 mm PVA 纤维根数比 9 mm PVA 纤维根数量更 多,大量的PVA纤维之间桥接形成网络状态后,阻 拦作用更明显,导致了拌合后砂浆流动度的下降。

表 4 水泥基复合材料的砂浆流动度

Table 4	The fluidity	of the cement-base	d mortars
Table 4	The mulaity	of the cement-base	u mortars

Table 1 The Halaity	of the cement based mortars
试件编号	流动度/mm
空白	263
6P-0.2	164
6P-0.4	150
6P-0.6	138
6P-0.8	109
9P-0.2	217
9P-0.4	203
9P-0.6	184
9P-0.8	146
3B-0.2	255
6B-0.2	250
9B-0.2	239
6P/3B	207
6P/6B	200
6P/9B	195
9P/3B	241
9P/6B	238
9P/9B	229

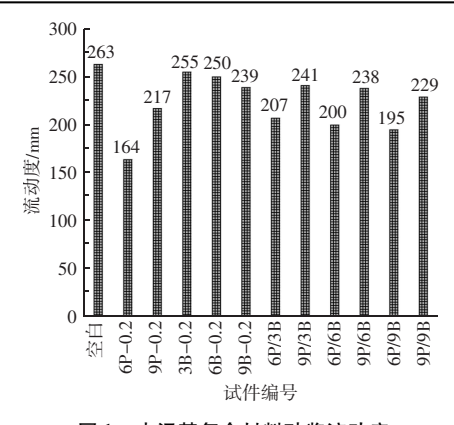


图 1 水泥基复合材料砂浆流动度 Fig. 1 Fluidity of the cement-based mortars

PVA 与 BF 按照 1:1 混掺水泥砂浆的流动度介于 两种不同长度、种类纤维水泥砂浆之间。例如 9P-0.2砂浆的流动度为217 mm,6B-0.2 砂浆的流 动度为 250 mm, 9P/6B 砂浆的流动度为 238 mm。掺 人纤维后, 砂浆流动性降低主要原因是大量的纤维 在浆体经过搅拌分散后, 互相交错分布, 对砂浆起

材料科学

到承托作用,减缓了骨料因自身重力作用下沉引起了砂浆流动度下降。

2.2 抗折、抗压性能分析

2.2.1 单掺 PVA 纤维水泥基复合材料抗折、抗压性能 单掺 6、9 mm PVA 纤维分别在水泥基中掺量为 0.2%、0.4%、0.6%、0.8%时,水泥基复合材料在 7、14 d抗折、抗压强度见表 5。与空白试件相比, 单掺6 mm 的 PVA 纤维对水泥基复合材料的抗折、 抗压强度增强效果不明显,但掺入一定量的9 mm PVA 纤维, 其对水泥基复合材料抗折、抗压强度有 一定程度的增强效果。例如, 9P-0.4 试件7 d 抗折 强度为8.3 MPa, 抗压强度为55.8 MPa, 与空白试件 相比分别提升了 7.14%、5.18%; 9P-0.2 试件 14 d 抗折强度为8.5 MPa, 抗压强度为61.8 MPa, 与空白 试件相比分别提升了 1.19%、2.48%。6 mm PVA 纤 维对水泥基复合材料没有明显的增强效果, 其原因 为纤维尺寸较短,纤维埋入水泥基长度较少,在一 定载荷下, 易于从硬化水泥基体拔出, 导致试件力 学性能的下降。通过6、9 mm PVA 纤维增强水泥基 材料的对比试验发现,纤维掺量相同时,纤维长度 对水泥基复合材料的抗折、抗压强度影响明显, 纤 维越长, 水泥基复合材料的抗折、抗压性能越好。

表 5 水泥基复合材料 7、14 d 抗折、抗压强度 Table 5 Flexural strength, compressive strength of the cement-based composites curing for 7、14 days

cement based composites earing for 7, 11 days				
14/4/2017	抗折强	抗折强度/MPa		度/MPa
试件编号 —	7 d	14 d	7 d	14 d
空白	7. 0	8. 4	50. 1	60. 3
6P-0.2	6.0	6. 5	31. 4	40. 8
6P-0.4	6. 1	6. 3	37. 2	40. 1
6P-0.6	6.0	5. 9	36. 5	36. 1
6P-0.8	5.8	5. 7	35. 9	33. 7
9P-0.2	7.5	8. 5	52. 7	61.8
9P-0.4	8.3	8. 1	55.8	59. 2
9P-0.6	6. 7	7. 0	40. 4	47. 2
9P-0.8	6.3	6. 7	38. 9	42. 5
6P/3B	7.4	8.0	43.8	52. 1
6P/6B	7.6	8. 4	50. 6	61.4
6P/9B	6.9	7.4	40. 0	52. 0
9P/3B	7.6	8. 7	54. 7	65. 6
9P/6B	7.9	8. 9	59. 9	65. 5
9P/9B	7.7	8. 6	54. 8	65. 8

2. 2. 2 BF/PVA 混掺水泥基复合材料抗折、抗压性能选择 0. 2% 作为混掺纤维掺入总量,研究 3、6、9 mm 的 BF 按照 1:1 比例与 6、9 mm PVA 混掺入水

泥基材料后, BF/PVA 水泥基复合材料抗折、抗压性 能的变化趋势。图 2 为水泥基复合材料 7、14 d 抗折 强度对比图。6 mm 的 PVA 与 3、6、9 mm BF 混掺水 泥基复合材料中, BF 可以显著地提高水泥基复合材 料的抗折性能。例如, 6P-0.2 试件7、14 d 抗折强 度分别为 6.0、6.5 MPa, 掺入了 3 mm BF 后的 6P/3B试件抗折强度提升到 7.4、8.0 MPa, 增幅为 23.33%、23.07%; 掺入6 mm BF 的 6P/6B 试件在 7、14 d 抗折强度达到 7.6、8.4 MPa, 与 6P-0.2 水 泥基复合材料试件相比增幅达到 26.67%、29.23%。 9 mm PVA 与 3、6、9 mm BF 混掺体系中, 7、14 d 抗折强度均表现出明显的增强效果, 且抗折强度最 优值出现在 9P/6B, 达到了 7.9、8.9 MPa, 混掺效 果最佳。上述结果表明 BF 混掺 PVA 体系的水泥复合 材料抗折性能增强效果显著。但9 mm BF 掺入9 mm PVA 水泥基复合材料试件 (9P/9B) 的抗折强度出 现了下降趋势。

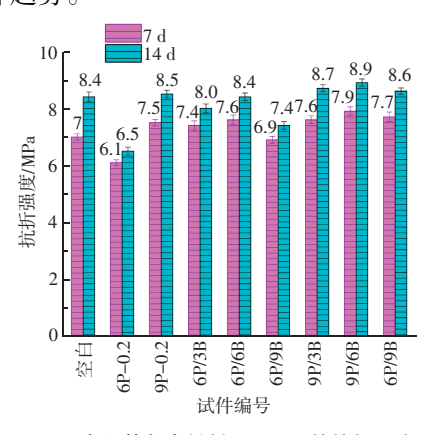


图 2 水泥基复合材料 7、14 d 的抗折强度 Fig. 2 Flexural strength of the cement-based composites curing for 7、14 days

图 3 为水泥基复合材料 7、14 d 的抗压强度对比图。与单掺 2%的 6 mm PVA 纤维水泥基复合材料6P-0.2抗压强度相比,6 mm的 PVA 纤维与 3、6、9 mm BF 混掺水泥基复合材料抗压强度增强比较显著,最优值出现在6P/6B 试件,其在 7、14 d 抗压强度分别为 50.6、61.4 MPa。9 mm PVA 纤维与 3、6、9 mm BF 混掺体系中,BF 纤维掺入也可以明显地提高9 mm PVA 水泥基复合材料的抗压性能。与9P-0.2水泥基复合材料在 7、14 d 抗压强度相比,6 mm BF 对9 mm PVA 水泥基材料抗压增强效果最佳,即 9P/6B水泥基复合材料在 7、14 d 抗压强度分别达到了

材料科学

59. 9, 65. 5 MPa

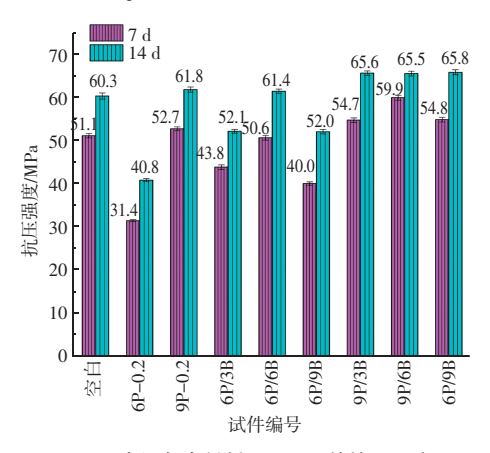


图 3 水泥复合材料 7、14 d 的抗压强度 Fig. 3 Compressive strength of the cement-based composites curing for 7、14 days

上述结果说明,通过混掺不同种类的纤维可以 使得两种纤维进行"桥联",实现他们在水泥基复合 材料中的限裂和承载的功能,但并不是混掺的纤维 越长,水泥基复合材料力学性能增强的效果越显著。

3 结论

- (1) 通过 6、9 mm PVA 纤维单掺增强水泥基材料的试验发现,纤维掺量相同时,纤维长度对水泥基复合材料的抗折、抗压强度影响明显。纤维越长,水泥基复合材料的抗折、抗压性能越好。
- (2) 混掺纤维总掺量为 0.2% 时, 3、6、9 mm BF 混掺 9 mm PVA 纤维的水泥基复合材料在 7、14 d 抗折、抗压均表现出良好的性能, 特别是 6 mm BF 混掺 9 mm PVA 纤维水泥基复合材料的抗折、抗压性能增强效果最佳。
- (3) BF 混掺进 PVA 水泥基体系后能明显改善水泥基复合材料的力学性能,特别是抗折性能。

参考文献

[1] CHENG C W, PENG Z, JUAN W, et al. Influence offibers on the mechanical properties and durability of ultra - high - performance concrete; A review [J]. Journal of Building Engineering, 2022, 52: 104370.

- [2] MONALDO E, NERILLI F, VAIRO G. Basalt based fiber reinforced materials and structural applications in civil engineering [J]. Composite Structures, 2019, 214: 246-263.
- [3] PAUL S C, VANZIJL G P A G, AVIJA B. Effect of fibers on durability of concrete: A practical review [J]. Materials, 2020, 13 (20): 1-26.
- [4] ZHENG Z H, FELDMAN D. Synthetic fibre reinforced concrete[J]. Progress in Polymer Science, 1995, 20 (2): 185-210.
- [5] 祝和意,张少峰. PVA 纤维体积率对 PVA-EC 力学性能的影响 [J]. 材料导报,2018,32 (18):3266-3270.
- [6] 丁聪,任金明,王永明,等. 高延性水泥基复合材料用短切PVA 纤维的长度优选研究[J]. 材料导报,2023,37 (13):21080025.
- [7] 余保英,周建伟,孔亚宁,等. PVA 纤维长度对超高韧性水泥基复合材料力学性能的影响[J]. 硅酸盐通报,2020,39 (11):3425-3431.
- [8] SAYYAD A S, SAYYAD R A. A review of research on fiber reinforced concrete [J]. Journal of Materials and Engineering Structures, 2023, 10 (4): 581-599.
- [9] WANG D, JU Y, SHEN H, et al. Mechanical properties of high performance concrete reinforced with basalt fiber and polypropylene fiber [J]. Construction and Building Materials, 2019, 197: 464– 473.
- [10] 权长青, 焦楚杰, 杨云英, 等. 混掺纤维混凝土力学性能的正 交试验研究 [J]. 建筑材料学报, 2019, 22 (3): 363-370.
- [11] XIE L, SUN X J, YU Z P, et al. Experimental study and theoretical analysis on dynamic mechanical properties of basalt fiber reinforced concrete [J]. Journal of Building Engineering, 2022, 62: 105334.
- [12] LI Y, ZHANG J P, HE Y Z, et al. A review on durability of basalt fiber reinforced concrete [J]. Composites Science and Technology, 2022, 225 (7): 109519.
- [13] 陈晨. 玄武岩 聚乙烯醇纤维高性能混凝土高温力学性能试验 研究 [D]. 沈阳: 辽宁工业大学, 2021.
- [14] 于海洋.聚乙烯醇-玄武岩纤维混掺增强水泥基复合材料力学性能研究[D].北京:北京建筑大学,2021.
- [15] ZHANG Y, ZHENG Y X, DU C, et al. Hybrid effects of basalt and polyvinyl alcohol fibers on the mechanical properties and macromicroscopic analysis of low – heat portland cement concrete [J]. Journal of Materials Research and Technology, 2023, 25: 608-632.